

РЕЛАКСАЦИЯ ФОТОИНЖЕКТИРОВАННЫХ НОСИТЕЛЕЙ В ГЕРМАНИЕВЫХ $p-n$ -ПЕРЕХОДАХ

Мармур И. Я., Оксман Я. А.

Внутризонное возбуждение носителей заряда ИК излучением в прямо смещенных $p-n$ -переходах сопровождается возникновением фотоинжекционного тока [1-4]. В [5] изучалось распределение по энергии носителей, инжектированных излучением 10.6 мкм из сильно легированной в слабо легированную область германиевого $p-n$ -перехода. Оказалось, что при температуре жидкого азота фотоинжекционный ток подчиняется закону Фаулера; это подтверждает ступенчатый характер функции распределения [6]. Более крутая зависимость фототока от напряжения смещения, наблюдавшаяся на границах указанной области, была истолкована как результат участия в инжекции максвеллизованных носителей. Близкие к экспоненциальным зависимостям фототока от смещения наблюдались при комнатной температуре для всех барьеров.

В настоящей работе эти исследования продолжены: анализируются зависимости фотоинжекционного тока от частоты модуляции излучения при различных смещениях. Данная методика в отличие от использованной в [5] позволяет оценить вклад инжекционного тока, обусловленного разогревом решетки, в суммарный фотосигнал на разных частотах.

В общем случае можно считать, что рассматриваемая функция распределения имеет вид

$$F(\varepsilon) \simeq Ae^{-\varepsilon/kT_p} + Bq, \quad (1)$$

где ε — энергия носителей, k — постоянная Больцмана, $T_p = T_0 + \Delta T_p$ — неравновесная температура решетки, T_0 — равновесная температура, q — мощность возбуждающего излучения, поглощаемого свободными носителями, A и B — константы. Ток фотоинжекции при этом

$$i_\Phi \sim \int_{\varphi_0}^{h\nu} [F(\varepsilon) - F_0(\varepsilon)] Y(\varepsilon) d\varepsilon, \quad (2)$$

где $F_0(\varepsilon) \simeq Ae^{-\varepsilon/kT_0}$ — равновесная функция распределения, $Y(\varepsilon)$ — вероятность преодоления барьера $\varphi_0 \simeq E_g - u_{cm}$ носителем с энергией ε , E_g — ширина запрещенной зоны, u_{cm} — прямое смещение, $h\nu$ — энергия кванта излучения. Можно считать, что для $\Delta T_p \ll T_0$ $F(\varepsilon) - F_0(\varepsilon) \sim e^{-\varepsilon/kT_0} \Delta T_p$. При периодической амплитудной модуляции излучения на частоте $\omega \sim 1/\tau$, если $1/\tau_p \ll \omega \ll 1/\tau_e$, где $\tau_p \simeq 10^{-3} - 10^{-1}$ с — время установления теплового равновесия в системе диод — среда, $\tau_e \simeq 10^{-11}$ с — время релаксации носителей по энергии. Соотношение $\Delta T_p \sim 1/\omega$ следует рассматривать как приближенное, поскольку остыивание $p-n$ -перехода нельзя описать одной постоянной времени. Имея в виду сказанное и принимая, согласно [5, 7], $Y(\varepsilon) \sim (\varepsilon - \varphi_0)$, получаем из (1) и (2)

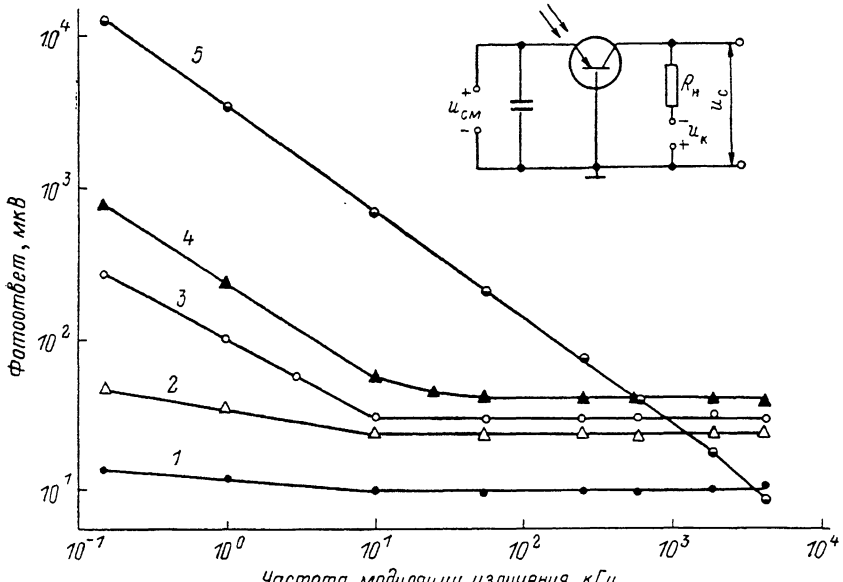
$$i_\Phi \simeq \left[Ke^{-\varphi_0/kT_p} \frac{1}{\omega} + L(h\nu - \varphi_0)^2 \right] q, \quad (3)$$

где K и L — константы.

Первое слагаемое (3) описывает ток инжекции, обусловленный разогревом $p-n$ -перехода в целом, и поэтому зависит от частоты; второе — отвечает фаулеровскому току, создаваемому носителями, энергия которых больше тепловой.

Приведенные на рисунке частотные характеристики снимались, как и в [5], в виде зависимостей сигнала на коллекторе биполярного транзистора, включенного по схеме с общей базой при закороченном по переменному току эмиттере, что позволило менять в широких пределах смещение на последнем.

Регистрируемый при заданном смещении и 77 К фототок, как это следует из графиков, соответствует (3), т. е. содержит наряду с не зависящей от частоты составляющей инерционный компонент, убывающий примерно как $1/\omega$. Соотношение между этими составляющими зависит помимо частоты от величины смещения, управляющего высотой барьера $p-n$ -перехода. При малых смещениях (высокий барьер) инерционная составляющая практически отсутствует, проявляясь с уменьшением барьера на тем больших частотах, чем ниже последний. Это означает, что увеличение смещения приводит к увеличению доли носителей, находящихся в равновесии с решеткой и перебрасываемых через



Зависимость фотоответа (u_c) на коллекторе германиевого биполярного транзистора ГТ308 от частоты модуляции излучения 10.6 мкм, возбуждающего эмиттерный $p-n$ -переход для различных напряжений смещения.

В правом верхнем углу — схема измерений. Т, К: 1—4 — 77, 5 — 300. Напряжение прямого смещения эмиттера u_{cm} , В: 1 — 0.56, 2 — 0.6, 3 — 0.64, 4 — 0.68, 5 — 0.26. Обратное смещение коллектора u_k — 5 В. Мощность возбуждающего излучения, мВт: 1, 4 — 100, 2, 3 — 25, 5 — 6. Сопротивление нагрузки коллектора R_h , Ом: 1, 5 — 10^3 , 2, 3 — 10^2 , 4 — 10.

барьер в результате повышения температуры. При 300 К, когда из-за изменившихся условий охлаждения $p-n$ -переход греется излучением до более высокой температуры, чем в ванне из жидкого азота, а носители интенсивно обмениваются энергией с решеткой, не зависящая от частоты составляющая фотоответа не наблюдается вплоть до 10⁷ Гц. Это, по-видимому, следует понимать как следствие максвеллизации fotoносителей до того, как они успели преодолеть барьер $p-n$ -перехода.

Приведенные результаты и данные [5], дополняя друг друга, позволяют считать, что функция распределения неравновесных носителей при комнатной температуре близка к максвелловской. Для 77 К и энергии $0.5 h\nu \leq \varepsilon \leq h\nu$ она описывается постоянной величиной, а при энергиях, соизмеримых с тепловой ($\varepsilon \leq kT_0$) или превышающих энергию кванта ($\varepsilon \geq h\nu$), может быть аппроксимирована экспонентами. Таким образом, снижение высоты барьера (увеличение прямого смещения) сопровождается качественным изменением fotoинжекционного тока, который из фотонного превращается в тепловой.

Л и т е р а т у р а

- [1] Валов П. М., Вейнгер А. И., Рывкин Б. С., Ярошецкий И. Д., Яссевич И. Н. О токе через $p-n$ -переход, обусловленном разогревом электронного газа. — ФТП, 1972, т. 6, в. 11, с. 2270—2272.
- [2] Мармур И. Я., Оксман Я. А. Ток разогретых носителей через $p-n$ -переход. — ФТП, 1974, т. 8, в. 11, с. 2216—2217.

- [3] Андрианов А. В., Валов П. М., Суханов В. Л., Тучкевич В. В., Шмидт Н. М. Фотоэффект на $p-n$ -переходе из кремния в условиях внутристороннего разогрева носителей светом. — ФТП, 1980, т. 14, в. 5, с. 859—864.
- [4] Ашмонтас С., Ширмулис Э., Стонис С. Исследование фотоэдса, возникающей на $p-n$ -переходе германия при освещении его импульсами CO_2 -лазера. — Лит. физ. сб., 1984, т. 24, № 3, с. 76—78.
- [5] Мармур И. Я., Оксман Я. А. Внутренняя фотоэмиссия в электронно-дырочных переходах. — ФТП, 1986, т. 20, в. 3, с. 486—489.
- [6] Комолов В. Л., Чесневич И. Н. Функция распределения электронов, разогретых светом, при взаимодействии с оптическими фононами. — ФТП, 1974, т. 8, в. 6, с. 1125—1133.
- [7] Elabd H., Kosonocky W. F. — RCA Rev., 1982, v. 43, N 4, p. 569—589.

Получено 9.07.1987
Принято к печати 21.08.1987

ФТП, том 22, вып. 3, 1988

ДВУХУЗЕЛЬНАЯ МОДЕЛЬ БИПОЛЯРона МАЛОГО РАДИУСА

Петухов А. Г.

В последнее время большое внимание привлечено к исследованию биполярных в различных материалах [1—3]. В 1975 г. Андерсон [4] для объяснения отсутствия сигнала ЭПР в халькогенидных стеклах предложил использовать модель биполярона малого радиуса. Согласно Андерсону [4], образование биполярона происходит при выполнении неравенства $U < 2W$, где U — хаббардовская энергия отталкивания электронов на дефекте, W — локальный полярный сдвиг. Эта оценка, однако, получена без учета эффектов туннелирования электронов между локализованными состояниями. Поэтому представляет интерес проанализировать условия образования биполярона в рамках учитывающей туннелирование двухузельной модели, обобщив известную двухузельную модель полярона [5]. Далее будет показано, что двухузельная модель биполярона допускает точный анализ поведения адиабатических термов при $T=0$.

В модели Холстейна [5] предполагается, что электрон, локализованный на i -м узле, линейно связан с локальной решеточной модой u_i ($i=1, 2$). Гамильтониан задачи H_{tot} можно представить в виде $H_{\text{tot}}=H_0+H$, где H_0 не содержит электронных операторов и описывает смешанный гармонический осциллятор, соответствующий симметричной деформации $\bar{Q}=1/2(u_1+u_2)$, а оператор H учитывает взаимодействие электронов с асимметричной деформацией $Q=u_1-u_2$ [5]. С учетом членов, описывающих локальные многоэлектронные эффекты [4],

$$H = \frac{P^2}{2\mu} + \frac{1}{2}\mu\omega^2 Q^2 - \frac{1}{2}\lambda Q \sum_{\sigma} (n_{1\sigma} - n_{2\sigma}) + V \sum_{i \neq j} a_{i\sigma}^{\dagger} a_{j\sigma} + U \sum_i n_{i\uparrow} n_{i\downarrow} + C \sum_{i \neq j, \sigma, \sigma'} n_{i\sigma} n_{j\sigma'}, \quad (1)$$

где $i=1, 2$; $n_{i\sigma} = a_{i\sigma}^{\dagger} a_{i\sigma}$ — число заполнения i -го одноэлектронного состояния со спином σ ; $a_{i\sigma}^{\dagger}$ и $a_{i\sigma}$ — соответствующие операторы рождения и уничтожения; P — импульс, сопряженный с координатой Q ; ω — частота локального фонона; μ — приведенная масса; λ — деформационный потенциал; V — интеграл туннелирования между локализованными состояниями $|1\rangle$ и $|2\rangle$; U — внутристороновая хаббардовская энергия; C — межцентровый кулоновский интеграл.

Очевидно, что биполярному соответствует значение $N = \sum_{i\sigma} n_{i\sigma} = 2$ (для $N=1, 3$ задача сводится к двухузельной модели электронного или дырочного полярона). Частичная диагонализация гамильтониана (1) для $N=2$ проводится так же, как